

# Обнаружение аномального пика электросопротивления монокристалла $\text{UFe}_4\text{Al}_8$ в области температур 160–100 К и отрицательного магнитосопротивления в полях до 400 Э

В.М. Дмитриев<sup>1,2</sup>, А.В. Терехов<sup>1</sup>, В. Суски<sup>2,3</sup>

<sup>1</sup>Физико-технический институт низких температур им. Б.И. Веркина НАН Украины  
пр. Ленина, 47, г. Харьков, 61103, Украина  
E-mail: dmitriev@ilt.kharkov.ua

<sup>2</sup>International Laboratory of High Magnetic Fields and Low Temperatures  
95 Gajowicka St., 53-421 Wrocław, Poland

<sup>3</sup>W. Trzebiatowski Institute of Low Temperatures and Structure Research  
Polish Academy of Sciences, P.O. 1410, 50-950 Wrocław, Poland

Статья поступила в редакцию 18 апреля 2006 г.

В урановом монокристаллическом соединении  $\text{UFe}_4\text{Al}_8$  в интервале температур 160–100 К экспериментально обнаружена аномалия электросопротивления в виде пика, который подавляется слабыми магнитными полями 1–400 Э (отрицательное магнитосопротивление). Максимальное снижение электросопротивления в магнитном поле  $H = 400$  Э наблюдается в максимуме аномалии и достигает 25 %. Рассматриваются возможные механизмы аномального поведения электрического транспорта в интервале температур 160–100 К.

В урановій монокристалічній сполуці  $\text{UFe}_4\text{Al}_8$  в інтервалі температур 160–100 К експериментально виявлено аномалію електроопору у вигляді піку, який подавляється слабкими магнітними полями 1–400 Е (негативний магнітоопір). Максимальне зниження електроопору в магнітному полі  $H = 400$  Е спостерігається в максимумі аномалії і досягає 25 %. Розглядаються можливі механізми аномальної поведінки електричного транспорту в інтервалі температур 160–100 К.

PACS: 74.25.Nf, 72.15.Eb

**Ключевые слова:** электросопротивление, монокристалл  $\text{UFe}_4\text{Al}_8$ , отрицательное магнитосопротивление.

Недавно в некоторых тройных редкоземельных соединениях  $\text{RFe}_4\text{Al}_8$  с кристаллической структурой типа  $\text{ThMn}_{12}$  было обнаружено явление отрицательного магнитосопротивления (ОМ) в малых магнитных полях (единицы и десятки эрстед) [1–3]. Естественно возник вопрос о возможности существования ОМ и в соединениях с актиноидами  $\text{AnFe}_4\text{Al}_8$  (где  $\text{An} = \text{U}, \text{Np}, \text{Th}$ ). Среди этих соединений наибольшее разнообразие интересных физических явлений (различные типы магнитного упорядочения в подрешетках Fe и U, состояние спинового стекла) обнаружено в  $\text{UFe}_4\text{Al}_8$  [4,5].

Отрицательное магнитосопротивление в умеренных и сильных магнитных полях от нескольких килоэрстед до нескольких тесла в  $\text{UFe}_4\text{Al}_8$  уже наблюдалось ранее и было подробно исследовано [6,7]. Настоящая работа посвящена исследованию резистивных и магниторезистивных свойств монокристалла  $\text{UFe}_4\text{Al}_8$  на предмет обнаружения ОМ в малых магнитных полях аналогично системам  $\text{RFe}_4\text{Al}_8$ . С этой целью указанные свойства этого соединения были изучены в области температур 300–4,2 К и диапазоне магнитных полей 0–400 Э.

## Образцы и методика измерений

Монокристаллы UFe<sub>4</sub>Al<sub>8</sub> были выращены методом Чохральского — вытягиванием из стехиометрического расплава исходных компонентов. Образцы имели форму цилиндров диаметром около 2,5 мм и длиной до 8 мм. Многочисленные измерения удельного сопротивления  $\rho$  четырехконтактным методом на постоянном токе и поверхностного сопротивления  $R_S$  бесконтактным резонаторным методом [8,9] на частотах 40 и 70 МГц показали, что  $R_S \sim \sqrt{\rho}$ . То есть во всем температурном интервале измерений от 300 до 4,2 К мы находимся в области нормально-го скин-эффекта, как это было и ранее в случае монокристаллов ScFe<sub>4</sub>Al<sub>8</sub> и YFe<sub>4</sub>Al<sub>8</sub> [3].

Поскольку, с одной стороны, бесконтактный резонаторный метод более удобен, а, с другой, для сравнения с литературными данными лучше использовать значения  $\rho$ , в настоящей работе измеренные зависимости  $R_S(T,H)$  перестроены в зависимости  $R_S^2(T,H) \sim \rho(T,H)$ .

Измерения проведены в двух различных конфигурациях. Катушка индуктивности резонансного контура была соосно размещена внутри катушки соленоида постоянного магнитного поля. Образец размещался внутри катушки индуктивности и мог быть ориентирован своим большим размером как вдоль оси катушки, так и поперек. Таким образом, можно было проводить измерения в конфигурации  $H \parallel b$ ,  $I \perp b$ ,  $I \perp H$  (случай  $R_{S\perp}$ ,  $\rho_\perp$ ) и в конфигурации  $H \perp b$ ,  $I \parallel b$ ,  $I \perp H$  (случай  $R_{S\parallel}$  и  $\rho_\parallel$ ). Большинство измерений выполнено в наиболее удобной с экспериментальной точки зрения конфигурации  $\perp$ .

В качестве сравнительной характеристики отрицательного магнитосопротивления в данной работе берется относительная величина

$$[R_S^2(H) - R_S^2(0)]/R_S^2(0) = \Delta\rho/\rho(0),$$

где  $R_S(0)$  — поверхностное электросопротивление в отсутствие магнитного поля, а  $R_S(H)$  — поверхностное электросопротивление в отличном от нуля магнитном поле, которое изменялось в пределах 0–400 Э.

## Экспериментальные результаты и их обсуждение

Исследования температурных зависимостей  $R_S(T)$  монокристалла UFe<sub>4</sub>Al<sub>8</sub> в интервале температур 300–4,2 К выявили ряд особенностей. Аномальное поведение  $R_S(T)$  в области температур 70–4,2 К полностью совпало с результатами работы [10]. В данном интервале температур  $R_S(T)$  не зависело от магнитного поля. В интервале температур 160–100 К обнаружен не наблюдавшийся ранее аномальный

пик  $R_S(T)$ , подавляемый магнитным полем (снижение электросопротивления в магнитном поле), обсужденюю которого и посвящена настоящая работа.

На рис. 1 представлен типичный пик  $R_S^2(T)$ , наблюдавшийся в интервале температур 160–100 К и измеренный в конфигурации  $\perp$  на двух частотах: 40 и 70 МГц. Видно, что в этом диапазоне частот относительная величина особенности  $R_S^2(T)$  не зависит от частоты. Аномальное возрастание  $R_S^2(T)$  начинается при  $T = 160$  К, следует логарифмическому закону, достигает максимума при  $T = 135$  К и от 130 до 100 К заканчивается спадом по степенному закону  $T^{2,5}$ .

На рис. 2 представлены температурные зависимости  $R_S^2(T) \sim \rho(T)$ , измеренные на частоте 70 МГц в двух конфигурациях:  $\perp$  и  $\parallel$ . Кривые 1' и 2' сняты в постоянном магнитном поле 50 Э. Видно, что в отсутствие внешнего магнитного поля в обоих случаях аномальный рост сопротивления начинается при  $T = 160$  К и происходит по логарифмическому закону. Максимум достигается при  $T = 135$  К. При дальнейшем снижении температуры спад сопротивления происходит по степенному закону  $T^{2,5}$ . Слабое магнитное поле 50 Э подавляет особенность  $R_S^2(T) \sim \rho(T)$ , но не влияет на температуру начала роста сопротивления. Характерно, что при этом рост сопротивления не логарифмический, хотя ниспадающая часть зависимости  $R_S^2(T)$  по-прежнему подчиняется закону  $T^{2,5}$ . Значения  $R_S^2 \sim \rho$ , измеренные в различных конфигурациях, отличаются (анизотропия сопротивлений), однако значения ОМ в обеих ситуациях практически одинаковы и достигают наибольших значений при  $T = 135$  К: –12,1% для конфигурации  $\perp$  и –11,7% для случая  $\parallel$ .

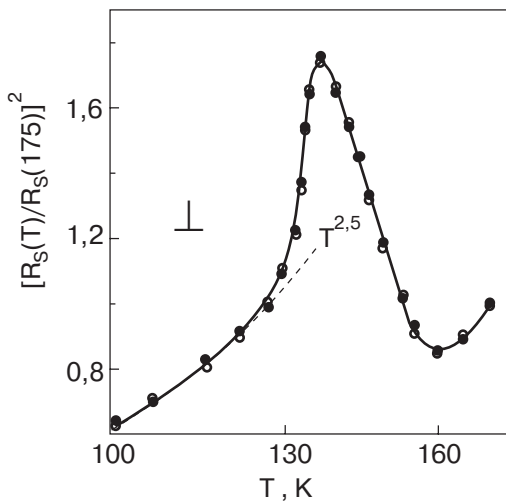


Рис. 1. Температурные зависимости  $[R_S(T)/R_S(175)]^2$  монокристалла UFe<sub>4</sub>Al<sub>8</sub>, измеренные в конфигурации  $\perp$  на частотах 40 (●) и 70 (○) МГц.

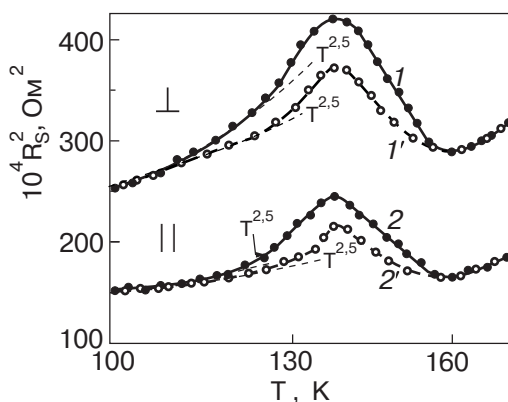


Рис. 2. Температурные зависимости  $R_S^2(T)$  монокристалла  $\text{UFe}_4\text{Al}_8$ , измеренные на частоте 70 МГц в двух конфигурациях:  $\perp$  (кривые 1 и 1') и  $\parallel$  (2 и 2'). Кривые 1 и 2 сняты в отсутствие магнитного поля, 1' и 2' — в магнитном поле 50 Э.

На рис. 3 представлены зависимости  $R_S^2(T)$  на частоте 40 МГц в отсутствие магнитного поля и в магнитном поле 400 Э. Включение магнитного поля величиной 400 Э приводит к заметному снижению электросопротивления ( $\approx -24,5\%$  при  $T = 135$  К) и сдвигу температуры минимума в более низкотемпературную область ( $T = 150$  К). Температура максимума остается равной 135 К, как и в случае  $H = 0$ . Ниже точки минимума электросопротивление растет по отличному от логарифмического закону. В интервале 120–100 К магнитное поле не нарушает зависимость  $R_S^2(T) \sim T^{2,5}$ .

Магнитополевые зависимости значений  $\Delta\rho/\rho(0)$  при разных температурах в области существования ОМ представлены на рис. 4. Хорошо видно, что кривые, измеренные при температурах 155, 150 и 145 К, имеют колоколообразную форму, а измеренные при 140, 135 и 130 К — ступенчатую. Максимальное

снижение электросопротивления при 400 Э наблюдается в точке максимума  $T = 135$  К и достигает величины  $-24,5\%$ . При этом снижение электросопротивления начинается в очень слабых магнитных полях ниже 1 Э. Таким образом, ступенчатый вид зависимостей  $\Delta\rho/\rho(0)$  наблюдается при температурах вблизи максимума  $R_S(T)$ . Это может указывать на то, что при этих температурах в образце возможно фазовое расслоение. Причем такое расслоение возникает довольно резко, так как разница всего в 5 К (от 145 до 140 К) приводит к заметному изменению формы кривых  $\Delta\rho/\rho(0)$ .

Согласно литературным данным [4,11–13], в образце  $\text{UFe}_4\text{Al}_8$  наблюдается переход в магнитоупорядоченное состояние (температуры перехода различных образцов существенно различаются и лежат в области 130–155 К [4,11–13]) с отличной от нуля спонтанной намагниченностью. Такое магнитное превращение сопровождается появлением магнитодоменной структуры. Наличие доменов может приводить к дополнительному рассеянию электронов проводимости на доменных границах или внутри доменных стенок, т.е. к росту электросопротивления. В нашем случае рост сопротивления наблюда-

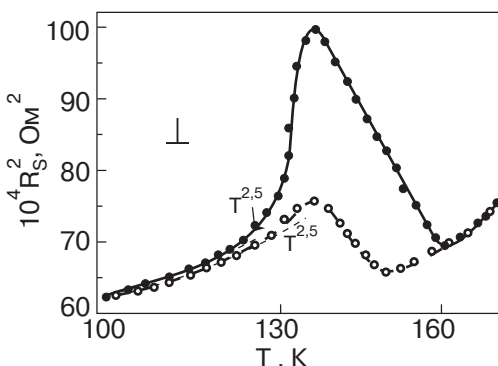


Рис. 3. Температурные зависимости  $R_S^2(T)$  монокристалла  $\text{UFe}_4\text{Al}_8$ , измеренные в конфигурации  $\perp$  на частоте 40 МГц в отсутствие магнитного поля (●) и в магнитном поле  $H = 400$  Э (○).

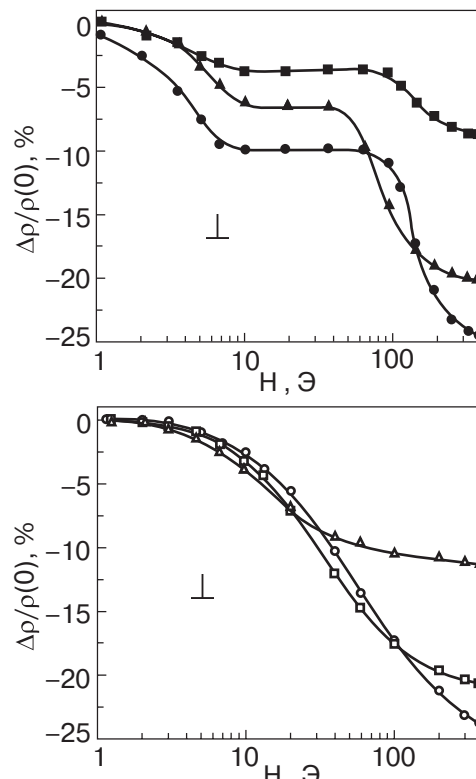


Рис. 4. Магнитополевые зависимости значений  $\Delta\rho/\rho(0)$  монокристалла  $\text{UFe}_4\text{Al}_8$  в интервале магнитных полей 1–400 Э, измеренные при температурах 130 (■), 135 (●), 140 (▲), 145 (○), 150 (□) и 155 (△) К.

ется в интервале температур 160–135 К. Спад электросопротивления ниже 135 К может быть связан с укрупнением доменной структуры и уменьшением количества доменных стенок. Включение слабого магнитного поля может приводить к росту объема доменов с ориентацией магнитных моментов вдоль поля за счет доменов с противоположной ориентацией и снижению электросопротивления. Такое объяснение аномального поведения электросопротивления оставляет открытыми вопросы, связанные с присутствием двух видов магнитополевых зависимостей (колоколообразных и ступенчатых), существованием узкой температурной области перехода ( $\leq 5$  К) от одних зависимостей к другим и с наличием логарифмического роста электросопротивления, который часто связывают с эффектом Кондо. При некоторых допущениях механизм рассеяния электронов с переворотом спина возможен и в исследованном соединении.

Согласно результатам нейтронографических исследований [5], в UFe<sub>4</sub>Al<sub>8</sub> может существовать некоторое количество атомов Fe (около нескольких процентов), занимающих 8j-позиции, которые в идеальном случае должны быть полностью заняты атомами Al [5]. Железо, находясь на этих позициях, может играть роль магнитных примесей, что делает возможным рассеяние на них носителей заряда, и тогда минимум электросопротивления и сменяющий его с понижением температуры логарифмический рост можно объяснить эффектом Кондо. Наличие максимума и снижение электросопротивления при дальнейшем понижении температуры можно объяснить переходом магнитной подсистемы атомов железа на 8j-позициях либо в магнитоупорядоченное состояние, либо в состояние кластерного спинового стекла. При этом ориентация спинов атомов железа, расположенных на 8j-позициях, фиксируется, а канал рассеяния электронов с переворотом спина подавляется. Включение магнитного поля также приводит к фиксации спинов, подавлению кондовского рассеяния электронов проводимости и появлению вследствие этого отрицательного магнитосопротивления. Возвращаясь к магнитополевым зависимостям, можно отметить, что ступенчатые магнитополевые зависимости как раз и наблюдаются в переходной области температур между уже существующим эффектом Кондо и появляющимся при более низких температурах магнитоупорядоченным состоянием. Следует отметить, что для рассмотрения состояний на 8j-позициях в качестве примесных необходимы экспериментальные подтверждения существования большого различия во временах магнитной релаксации между магнитными моментами атомов железа на основных 8f- и нетипич-

ных 8j-позициях. В настоящий момент такие данные отсутствуют.

## Заключение

В заключение отметим, что впервые в монокристалле UFe<sub>4</sub>Al<sub>8</sub> в интервале температур 160–100 К обнаружен аномальный пик поверхностного и удельного электросопротивлений  $R_S^2(T) \sim \rho$ . Этот пик подавляется слабым постоянным магнитным полем. Рост сопротивления при понижении температуры ниже 160 К происходит по логарифмическому закону. Спад сопротивления при  $T < 130$  К происходит по степенному закону  $T^{2,5}$ . Зависимости сопротивления от магнитного поля имеют плавный колоколообразный вид в области логарифмического роста сопротивления. Вблизи своего максимального значения и на спаде сопротивление снижается ступенчатым образом под воздействием магнитного поля. В настоящий момент какое-либо полное объяснение аномального поведения электросопротивления и появления отрицательного магнитосопротивления в малых магнитных полях (единицы и десятки эрстед) в UFe<sub>4</sub>Al<sub>8</sub> в интервале температур 160–100 К все еще отсутствует. Для полного понимания механизмов, ответственных за аномальное поведение электрического транспорта в UFe<sub>4</sub>Al<sub>8</sub>, требуется проведение дополнительных исследований в интервале температур 160–100 К с привлечением нейтронографии, мессбауэровской спектроскопии, ЯМР, микроскопии Керра, измерений рентгеновских L<sub>III</sub>-спектров поглощения Fe.

Авторы выражают благодарность А.Г. Андерсу за ценные замечания, доброжелательное и полезное обсуждение.

1. А.М. Гуревич, В.М. Дмитриев, В.Н. Еропкин, Б.Я. Котур, Н.Н. Пренцлау, В. Суски, А.В. Терехов, Л.В. Шлык, *ФНТ* **27**, 1308 (2001).
2. V.M. Dmitriev, L.F. Rybaltchenko, R. Wyder, A.G.M. Jansen, N.N. Prentslau, and W. Suski, *Fiz. Nizk. Temp.* **28**, 374 (2002).
3. В.М. Дмитриев, Н.Н. Пренцлау, И.В. Золочевский, Л.А. Ищенко, Б.Я. Котур, В. Суски, Е. Талик, А.В. Терехов, *ФНТ* **29**, 1189 (2003).
4. J. Gal, I. Yaar, D. Regev, S. Fredo, G. Shani, E. Arbaboff, W. Potzel, K. Aggarwal, J.A. Pereda, G.M. Kalvius, F.J. Litterst, W. Schäfer, and G. Will, *Phys. Rev.* **B42**, 8507 (1990).
5. K. Rećko, M. Biernacka, L. Dobrzyński, K. Perzyńska, D. Satula, K. Szymański, J. Waliszewski, W. Suski, K. Wochowski, G. André, and F. Bourée, *J. Phys.: Condens. Matter* **9**, 9541 (1997).
6. G. Bonfait, A.P. Goncalves, J.C. Spirlet, and M. Almeida, *Physica* **B211**, 139 (1995).

7. G. Bonfait, M. Godinho, P. Estrela, A.P. Gonçalves, M. Almeida, and J.C. Spirlet, *Phys. Rev.* **B53**, R480 (1996).
8. В.М. Дмитриев, М.Н. Офицеров, Н.Н. Пренцлау, *Радиотехника* **97**, 91 (1993).
9. А.М. Гуревич, В.М. Дмитриев, В.Н. Еропкин, Л.А. Ищенко, Н.Н. Пренцлау, Л.В. Шлык, *ФНТ* **25**, 15 (1999).
10. В.М. Дмитриев, Н.Н. Пренцлау, А.М. Гуревич, Л.А. Ищенко, В. Суски, А.В. Терехов, Р. Троch, *ФНТ* **30**, 644 (2004).
11. J.A. Paixão, S. Langridge, S.Aa. SØrensen, B. Lebech, A.P. Gonçalves, G.H. Lander, P.J. Brown, P. Burlet, and E. Talik, *Physica* **B234–236**, 614 (1997).
12. J.A. Paixão, B. Lebech, A.P. Gonçalves, P.J. Brown, G.H. Lander, P. Burlet, A. Delapalme, and J.C. Spirlet, *Phys. Rev.* **B55**, 14370 (1997).
13. M. Kuznietz, A.P. Gonçalves, J.C. Waerenborgh, M. Almeida, C. Cardoso, M.M. Cruz, and M. Godinho, *Phys. Rev.* **B60**, 9494 (1999).

Detection of an anomalous electrical resistance peak in  $\text{UFe}_4\text{Al}_8$  single crystal at 160–100 K and negative magnetoresistance in fields up to 400 Oe

V.M. Dmitriev, A.V. Terekhov, and W. Suski

It has been found experimentally that the  $\text{UFe}_4\text{Al}_8$  single crystal has a peak-like electrical resistance anomaly at temperatures between 160 and 100 K, which is suppressed by weak magnetic field (negative magnetoresistance). The greatest decrease in the electrical resistivity at  $H = 400$  Oe is observed at the anomaly maximum and amounts to as much as  $\Delta\rho/\rho(0) \approx -25\%$ . The available mechanisms of the anomalous behavior of electric transport in a temperature interval of 160–100 K has been considered.

**Keywords:** electrical resistance, single crystal  $\text{UFe}_4\text{Al}_8$ , negative magnetoresistance.